

# Uma hiper-heurística de seleção baseada em decomposição para estabelecer sequências de módulos para o teste de software

Vinicius Renan de Carvalho

Orientadora: Profa. Dra. Silvia Regina Vergilio

DInf - Universidade Federal do Paraná (UFPR)

2015

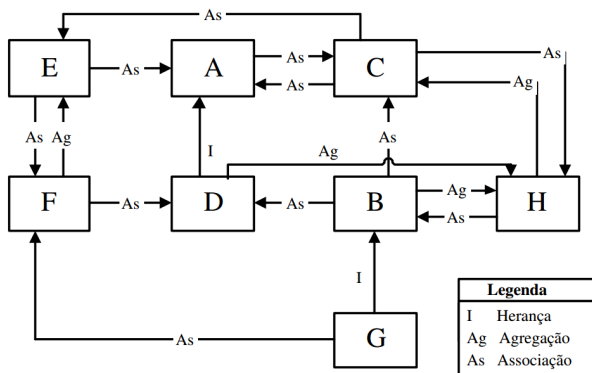
# Conteúdo Programático

- 1 Contexto
- 2 Motivação
- 3 Justificativa
- 4 Objetivos do trabalho
- 5 Algoritmos Baseados em Decomposição
- 6 Hiper-heurística
- 7 Hiper-heurísticas aplicadas à SBSE
- 8 HITO
- 9 Contribuições
- 10 Estudo Experimental
- 11 Conclusões

# Contexto

- O problema de estabelecimento de sequências de módulos para o teste de integração (*Integration Test Order problem (ITO)*) visa a determinar uma ordem em que os módulos de um sistema devem ser integrados e testados, com o intuito de reduzir o esforço destas tarefas;
- Na maioria das vezes os módulos não são integrados de uma vez;
- Algumas vezes *stubs* deve ser implementados;
- O problema é representado como um grafo direcionado.

# Representação do Problema



# Abordagens para resolver o problema

- Algoritmos baseados em técnicas de grafos;
- Abordagens Mono-objetivos
  - Algoritmo Genético;
- Abordagens Multi-objetivo
  - PACO
  - NSGA-II
  - MTabu
  - SPEA2
  - PAES
  - MOCAITO
- Hiper-heurísticas
  - HITO
  - MOCAITO-HH

# Motivação

- O uso de hiper-heurísticas desperta interesse da comunidade de SBSE, mas ainda são poucos os trabalhos que tratam deste tópico;
- O uso de hiper-heurísticas aplicadas ao problema ITO tem obtido bons resultados, especialmente as que trabalham com o algoritmo de seleção *Choice Function* (CF);
- Li et al. obtiveram bons resultados ao aplicar em seus trabalhos FRRMAB em conjunto com o MOEA/D-DRA;
- Algoritmos baseados em decomposição podem auxiliar na melhora de resultados.

## Justificativa

- O uso de algoritmos baseados em decomposição pode contribuir para a melhora dos resultados existentes, pois estes algoritmos têm obtido bons resultados na literatura;
- A HITO não foi projetada tendo em mente algoritmos baseados em decomposição;
- O FRRMAB tem apresentado melhores resultados do que outros algoritmos derivados do MAB. Principalmente por usar os valores de FRR (Fitness Rate Ranking);
- O algoritmo de seleção CF pode-se beneficiar do uso dos valores FRR.

# Objetivos do trabalho

- Propor a hiper-heurística HITO-DA (*Hyper-heuristic for the Integration and Test Order Problem using Decomposition Approach*);
- Propor o algoritmo de seleção FRRCF (*Fitness Rate Rank Choice Function*) para trabalhar com a HITO-DA, pois a HITO obteve bons resultados com a CF.

# Multi-Objective Evolutionary Algorithm based on Decomposition (MOEA/D)

- Decompõe um problema multiobjetivo em subproblemas para que sejam trabalhados individualmente;
- Cada subproblema possui uma solução associada;
- Mantém um conjunto de vetores de peso ( $\Lambda = \{\lambda^1, \dots, \lambda^N\}$ ) e um conjunto de pontos ideais ( $z^* = \{z_1^*, \dots, z_m^*\}$ );
- Os subproblemas também usam informações da vizinhança na busca de soluções;
- É realizado um determinado número de substituições de soluções;
- Uso de uma função de agregação para o cálculo do valor de *fitness*, como soma ponderada ou Tchebycheff:

$$g^{te}(x|\lambda, z^*) = \max\{\lambda_i | f_i(x) - z_i^*|\}$$
$$1 \leq i \leq m$$

(1)



UFPR

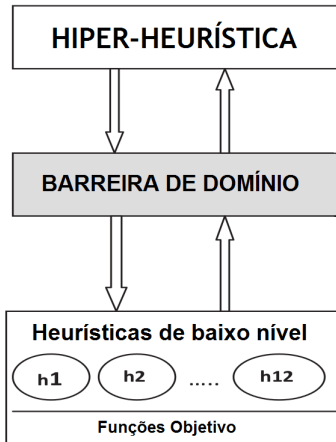
# Multi-Objective Evolutionary Algorithm based on Decomposition with Dynamical Resource Allocation (MOEA/D-DRA)

- No MOEA/D, todos os subproblemas são tratados igualmente e recebem o mesmo esforço computacional;
- O MOEA/D-DRA aloca diferentes recursos computacionais para os diferentes subproblemas de acordo com a utilidade;
- A utilidade leva em consideração a melhora obtida por um subproblema ao longo do processo evolutivo.

# Conceito de Hiper-heurística

- Segundo Cowling et al. (2001), hiper-heurísticas são heurísticas que escolhem heurísticas.
- Segundo Burke et al.(2013), hiper-heurísticas são:
  - (a) metodologias de seleção de heurísticas;
  - (b) metodologias de geração de heurísticas.

# Barreira de domínio



# Choice Function (CF)

- Adaptativamente classifica cada LLH com relação a uma pontuação;
- Considera:
  - Desempenho;
  - Tempo de espera desde sua última utilização.
- Possui dois parâmetros,  $\alpha$  e  $\beta$ .

$$op = \operatorname{argmax}_{i=1 \dots K} (\alpha f_1(h_i) + \beta f_2(h_i)) \quad (2)$$

# Multi Armed Bandit (MAB)

- Proposto para solução do problema MAB da teoria de jogos;
- Atribui uma LLH para cada um dos braços;
- Cada LLH  $i$  é associada a:
  - Uma recompensa empírica  $q_i$  (como por exemplo, a média das melhorias obtidas);
  - Um intervalo de confiança  $Nt_i$ , representado pelo número de vezes que a  $i$ -ésima LLH foi acionada.
- Algumas versões do MAB usam o conceito de janela de tempo.

$$op = \operatorname{argmax}_{i=1 \dots K} (q_i + C * \sqrt{\frac{2 * \ln \sum_{j=1}^K Nt_j}{Nt_i}}) \quad (3)$$

# Fitness Rate Ranking Multi Armed Bandit (FRRMAB)

- Derivação do MAB;
- Usa valores de FRR (*Fitness Rate Ranking*) como recompensa  $q$ ;
- Os valores de FRR são calculados de forma que a influência da LLH que tenha os melhores resultados possa ser incrementada.

# FRRMAB - Atribuição de Crédito (Credit Assignment)

## Algoritmo 1: Pseudocódigo da atribuição de crédito do FRRMAB

1 Entrada: *SlidingWindow*, *D*, *K*

2 Saída: *FRR*, *Nt*

3 **início**

```
4     Atribuir 0 para cada elemento em Reward;           13
5     Atribuir 0 para cada elemento em Nt;               14
6     para Item in SlidingWindow faça                   15
7         FIR=Item.getFIR();                           16
8         op=Item.getIndexOp();                         17
9         Rewardop=Rewardop + FIR;                     18
10        Ntop++;                                19
11    fim                                                 20
12    Classificar vetor Reward em ordem             21
13    decrescente;                                     22
14
15    para op  $\leftarrow 1$  até K faça                  23
16        |   Rankop = Reward.getOpPosition(op); 24
17    fim
18    para op  $\leftarrow 1$  até K faça
19        |   Decayop = DRankop * Rewardop;
20    fim
21    DecaySum =  $\sum_{op=1}^K Decay_{op}$ ;
22    para op  $\leftarrow 1$  até K faça
23        |   FRRop = Decayop / DecaySum;
24    fim
25    retorna FRR;
```

24 **fim**

## FRRMAB - Recompensa (Reward)

$$Decay_{op} = D^{Rank_{op}} * Reward_{op} \quad (4)$$

$$DecaySum = \sum_{op=1}^K Decay_{op} \quad (5)$$

$$FRR_{op} = \frac{Decay_{op}}{DecaySum} \quad (6)$$

# FRRMAB - Seleção de operadores

---

## Algoritmo 2: Pseudocódigo do método de seleção do FRRMAB

---

```
1 Entrada: FRR, C, K, Nt
2 Saída: op
3 início
4   se Existem LLHs ainda não selecionadas então
5     |   op=Selecionar aleatoriamente alguma LLH ainda não selecionada;
6   fim
7   senão
8     |   op = argmaxi=1...K(FRRi + C * √(2*ln ∑j=1K Ntj) / Nti);
9   fim
10  retorna op;
11 fim
```

---

# FRRMAB - Fitness Improvement Rate (FIR)

O FIR é o somatório das melhorias proporcionadas pelos filhos em relação aos pais ao aplicar uma dada LLH  $op$ . Nesta Equação  $F(p)$  é o valor de *fitness* do pai  $p$  e  $F(c)$  é o valor de *fitness* do filho  $c$ .

$$n = \frac{(F(p) - F(c))}{F(p)} \quad (7)$$

$$FIR_{op} = FIR_{op} + n, n > 0$$

# Hiper-heurísticas aplicadas à SBSE

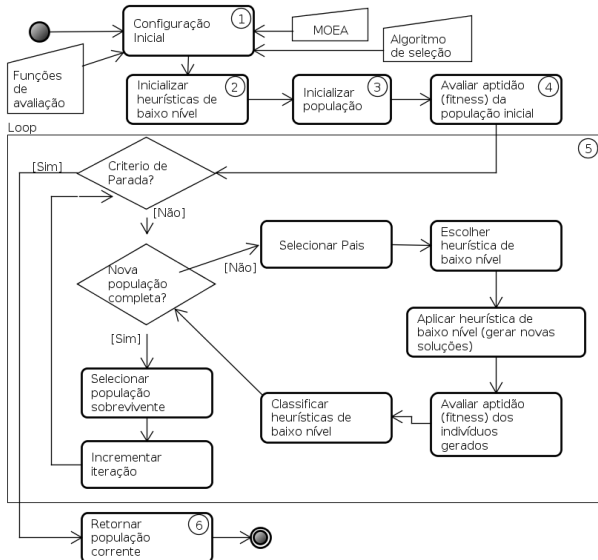
Segundo Harman et al. o uso de hiper-heurísticas desperta interesse da comunidade de SBSE, mas ainda são poucos os trabalhos que tratam deste tópico.

- Jia et al. introduziram uma HH para aprender e aplicar estratégias de teste combinatorial;
- Basgalupp et al. propuseram uma HH para a geração de algoritmos que criam árvores de decisão, a serem utilizadas na predição de esforço de software.
- Kumari e Srinivas propuseram uma HH para trabalhar com o problema de agrupamento de módulos;
- Carvalho et al. propuseram uma HH para buscar soluções para o problema ITO tratando meta-heurísticas como operadores.

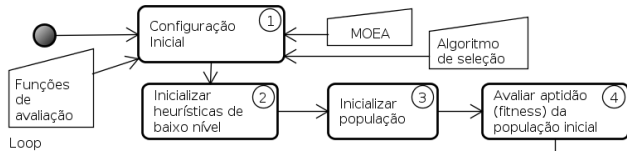
# Hyper-heuristic for the Integration and Test Order Problem (HITO)

- Hiper-heurística de aprendizado online;
- Trabalha com a seleção de LLHs perturbativas (operadores de mutação e cruzamento);
- Busca selecionar a melhor LLH durante o processo de busca;
- Trabalha buscando soluções para o problema ITO.

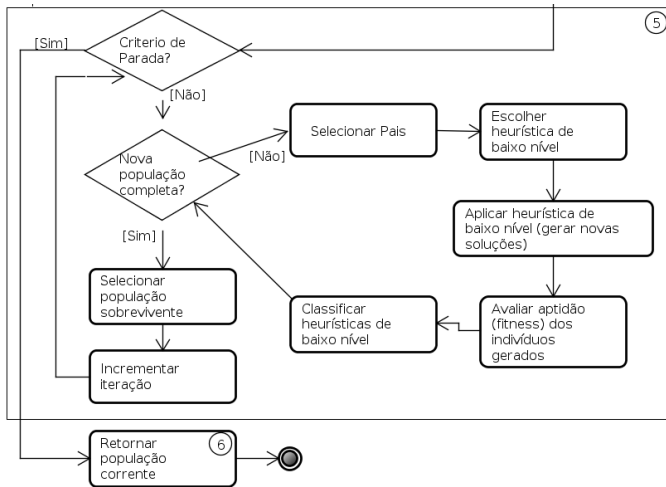
# HITO - Fluxo



# HITO - Fluxo



# HITO - Fluxo



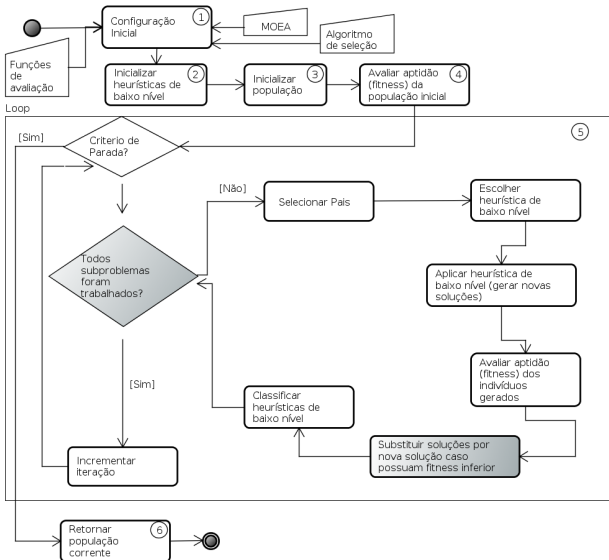
# HITO - Instância usada

- Objetivos do problema
  - Número de operações referenciadas entre módulos.
  - Número de atributos referenciadas entre módulos.
  - Número de tipos de retorno referenciados entre módulos.
  - Número de tipos de parâmetros referenciados entre módulos.
- Meta-heurísticas
  - NSGA-II
  - SPEA2
- Algoritmos de seleção
  - MAB
  - CF
- Função de avaliação
  - Métrica  $r$

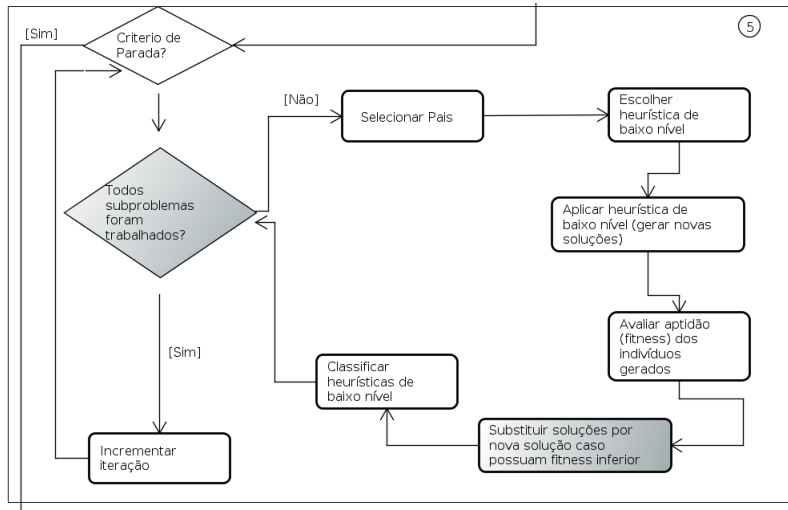
# Hyper-heuristic for the Integration and Test Order Problem using Decomposition Approach (HITO-DA)

- Incorpora as características da HITO:
  - É hiper-heurística de aprendizado online para a seleção de LLHs perturbativas (operadores de mutação e cruzamento);
  - Busca selecionar a melhor LLH durante o processo de busca para o problema ITO.
- Trabalha com algoritmos de decomposição.

# HITO-DA - Fluxo



# HITO-DA - Fluxo



# HITO-DA - Instância usada

- Objetivos do problema
  - Número de operações referenciadas entre módulos
  - Número de atributos referenciadas entre módulos
- Meta-heurística
  - MOEA/D-DRA
- Algoritmos de seleção
  - FRRMAB
  - FRRCF
- Métricas de avaliação
  - Tchebycheff como função de *fitness* para o FIR do FRRMAB
  - Tchebycheff como função de *fitness* para o FIR do FRRCF

## Fitness Rate Rank with Choice Function (FRRCF)

- Incorpora cálculos de FRR do FRRMAB;
- Usa a função de seleção da CF ao invés da função de seleção do MAB;
- Usa valores de FIR adaptados, pois na *Choice Function* não é empregado o conceito de janela de tempo (Equação 8).

$$FIR_{op} = FIR_{op} + \begin{cases} 1 & \text{se } \frac{(F(p)-F(c))}{F(p)} > 0 \\ -1 & \text{se } \frac{(F(p)-F(c))}{F(p)} < 0 \\ 0 & \text{outro caso} \end{cases} \quad (8)$$

# FRRCF - Credit Assignment

---

## Algoritmo 3: pseudocódigo da atribuição de crédito do FRRCF

---

```
1 Entrada: FIR, D, K
2 Saída: FRR
3 início
4     Classificar vetor de FIR em ordem decrescente;
5     para  $op \leftarrow 1$  até  $K$  faça
6         |  $Rank_{op} = FIR.getOpPosition(op);$ 
7     fim
8     para  $op \leftarrow 1$  até  $K$  faça
9         |  $Decay_{op} = D^{Rank_{op}} * FIR_{op};$ 
10    fim
11     $DecaySum = \sum_{op=1}^K Decay_{op};$ 
12    para  $op \leftarrow 1$  até  $K$  faça
13        |  $FRR_{op} = Decay_{op}/DecaySum;$ 
14    fim
15    retorna  $FRR;$ 
16 fim
```

---

# FRRCF - Seleção

## Algoritmo 4: Pseudocódigo do método de seleção da FRRCF

```
1 Entrada: FRR, WaitingTime;  $\alpha$ ,  $\beta$ ,  $K$ 
2 Saída: op
3 início
4   se Existem LLHs ainda não selecionados então
5     |   op=Selecionar aleatoriamente algum LLH ainda não selecionado;
6   fim
7   senão
8     |    $op = \text{argmax}_{i=1\dots K} (FRR_i * \alpha + WaitingTime_i * \beta);$ 
9     |   para  $i \leftarrow 1$  até  $K$  faça
10    |     |    $WaitingTime_i = WaitingTime_i + 1$ 
11    |   fim
12    |    $WaitingTime_{op} = 0$ 
13   fim
14   retorna op;
15 fim
```

# Questões de Pesquisa

- **RQ1:** Como são os resultados da HITO-DA com relação ao algoritmo MOEA/D-DRA?
- **RQ2:** Como são os resultados da HITO-DA com relação à hiper-heurística HITO?

# Nomes dos Experimentos

- Meta-heurísticas (Instâncias da MOCAITO)
  - NSGA-II
  - SPEA2
  - MOEA/D-DRA (MOEA/D)
- HITO
  - Choice Function e NSGA-II (NSGA-II-CF)
  - MAB e NSGA-II (NSGA-II-MAB)
  - Choice Function e SPEA2 (SPEA2-CF)
  - MAB e SPEA2 (SPEA2-MAB)
- HITO-DA
  - FRRMAB e MOEA/D-DRA (MOEAD-MAB)
  - FRRCF e MOEA/D-DRA (MOEAD-CF)

# Sistemas Utilizados

| <b>Sistema</b> | <b>Tipo</b> | <b>Versão</b> | <b>LOC</b> | <b>Classes</b> | <b>Aspectos</b> |
|----------------|-------------|---------------|------------|----------------|-----------------|
| BCEL           | OO          | 5.0           | 2999       | 45             | -               |
| JBoss          | OO          | 6.0.0M5       | 8434       | 148            | -               |
| JHotDraw       | OO          | 7.5.1         | 20273      | 197            | -               |
| MyBatis        | OO          | 3.0.2 2       | 23535      | 331            | -               |
| AJHotDraw      | OA          | 0.4           | 18586      | 288            | 31              |
| AJHsqldb       | OA          | 18            | 68550      | 275            | 30              |
| Health-Watcher | OA          | 9             | 5479       | 95             | 22              |

# Métrica de Qualidade Utilizada para HITO-DA

- Para FRRMAB:

$$n = \frac{g(x^j|\lambda^j, z^*) - g(y|\lambda^j, z^*)}{g(x^j|\lambda^j, z^*)} \quad (9)$$

$$FIR_{op} = FIR_{op} + n, n > 0$$

- Para FRRCF:

$$n = \frac{g(x^j|\lambda^j, z^*) - g(y|\lambda^j, z^*)}{g(x^j|\lambda^j, z^*)}$$

$$FIR_{op} = FIR_{op} + \begin{cases} 1 & \text{se } n > 0 \\ -1 & \text{se } n < 0 \\ 0 & \text{outro caso} \end{cases} \quad (10)$$

onde  $g$  é a função *Tchebycheff*

$g(\text{subproblema}|\text{peso associado, pontos ideais})$

# Configuração de experimentos

|                            | MOEAD-MAB                          | MOEAD-CF                                    | NSGA-II-CF                                  | NSGA-II-MAB           | SPEA2-II-CF                                 | SPEA2-II-MAB          | MOEA/D   |
|----------------------------|------------------------------------|---|---|-----------------------|---|-----------------------|----------|
| <b>Pop/Arq</b>             | 300                                | 300   | 300   | 300                   | 300   | 300                   | 300      |
| <b>T</b>                   | 30                                 | 30  | -   | -                     | -   | -                     | 30       |
| <b>Nr</b>                  | 3, 6, 30                           | 3, 6, 30                                    | -   | -                     | -   | -                     | 3, 6, 30 |
| <b><math>\delta</math></b> | 0.9                                | 0.9   | -   | -                     | -   | -                     | 0.9      |
| <b>D</b>                   | 0.1, 0.3,<br>0.5, 0.7,<br>0.9, 1.0 | 0.1, 0.3,<br>0.5, 0.7,<br>0.9, 1.0          | -   | -                     | -   | -                     | -        |
| <b>W</b>                   | 150, 300                           | -   | -   | 150, 300              | -   | 150, 300              | -        |
| <b>C</b>                   | 0.5, 1.0,<br>2.0, 5.0              | -   | -   | 0.5, 1.0,<br>2.0, 5.0 | -   | 0.5, 1.0,<br>2.0, 5.0 | -        |
| <b><math>\alpha</math></b> | -                                  | 1   | 1   | -                     | 1   | -                     | -        |
| <b><math>\beta</math></b>  | -                                  | 0.10 0.05<br>0.01 0.005<br>0.001<br>0.00005 | 0.10 0.05<br>0.01 0.005<br>0.001<br>0.00005 | -                     | 0.10 0.05<br>0.01 0.005<br>0.001<br>0.00005 | -                     | -        |

# Configurações selecionadas

| Alg         | Pop/Arq | T. Muta | T. Cruza | T  | Nr | $\delta$ | D   | $\alpha$ | $\beta$ | C   | W   |
|-------------|---------|---------|----------|----|----|----------|-----|----------|---------|-----|-----|
| MOEAD-MAB   | 300     | 1       | 1        | 30 | 6  | 0.9      | 0.1 | -        | -       | 5.0 | 150 |
| MOEAD-CF    | 300     | 1       | 1        | 30 | 6  | 0.9      | 0.3 | 1        | 0.10    | -   | -   |
| NSGA-II-CF  | 300     | 1       | 1        | -  | -  | -        | -   | 1        | 0.00005 | -   | -   |
| NSGA-II-MAB | 300     | 1       | 1        | -  | -  | -        | -   | -        | -       | 2.0 | 150 |
| SPEA2-CF    | 300     | 1       | 1        | -  | -  | -        | -   | 1        | 0.00005 | -   | -   |
| SPEA2-MAB   | 300     | 1       | 1        | -  | -  | -        | -   | -        | -       | 0.5 | 150 |
| MOEA/D      | 300     | 1       | 1        | 30 | 3  | 0.9      | -   | -        | -       | -   | -   |
| NSGA-II     | 300     | 0.02    | 0.95     | -  | -  | -        | -   | -        | -       | -   | -   |
| SPEA2       | 300     | 0.02    | 0.95     | -  | -  | -        | -   | -        | -       | -   | -   |

- $PF_{approx}$  contém o conjunto de soluções não dominadas de uma execução;
- $PF_{known}$  é a união de todos conjuntos  $PF_{approx}$  de uma determinada instância, mas removendo soluções não dominadas;
- $PF_{trueknown}$  é a união de todos conjuntos  $PF_{known}$ , mas removendo soluções não dominadas.

# Resultados da comparação da HITO-DA com o MOEA/D

| Sistema        | MOEA/D                       |       | MOEAD-CF                     |       | MOEAD-MAB                    |       |
|----------------|------------------------------|-------|------------------------------|-------|------------------------------|-------|
|                | $H_v$                        | $N_d$ | $H_v$                        | $N_d$ | $H_v$                        | $N_d$ |
| MyBatis        | 0,51604<br>(0,07289)         | 36,27 | <b>0,70966<br/>(0,04470)</b> | 38,80 | <b>0,71292<br/>(0,04501)</b> | 37,80 |
| BCEL           | 0,66306<br>(0,04655)         | 28,33 | <b>0,72914<br/>(0,00817)</b> | 29,13 | <b>0,73127<br/>(0,00517)</b> | 29,17 |
| JHotDraw       | 0,42821<br>(0,24306)         | 1,53  | <b>0,58827<br/>(0,20472)</b> | 1,57  | <b>0,60494<br/>(0,23102)</b> | 1,67  |
| JBoss          | <b>0,70264<br/>(0,46199)</b> | 1,00  | <b>1,00000<br/>(0,00000)</b> | 1,00  | <b>1,00000<br/>(0,00000)</b> | 1,00  |
| AJHsqldb       | 0,26847<br>(0,10769)         | 11,57 | <b>0,74872<br/>(0,07126)</b> | 19,60 | <b>0,78351<br/>(0,06697)</b> | 22,80 |
| AJHotDraw      | 0,27691<br>(0,14578)         | 2,60  | <b>0,64652<br/>(0,10937)</b> | 5,63  | <b>0,65990<br/>(0,16751)</b> | 5,27  |
| Health-Watcher | <b>0,80006<br/>(0,31857)</b> | 1,03  | <b>1,00000<br/>(0,00000)</b> | 1,00  | <b>0,99529<br/>(0,02582)</b> | 1,00  |

# HITO-DA, HITO, NSGA-II e SPEA2 em sistemas OO

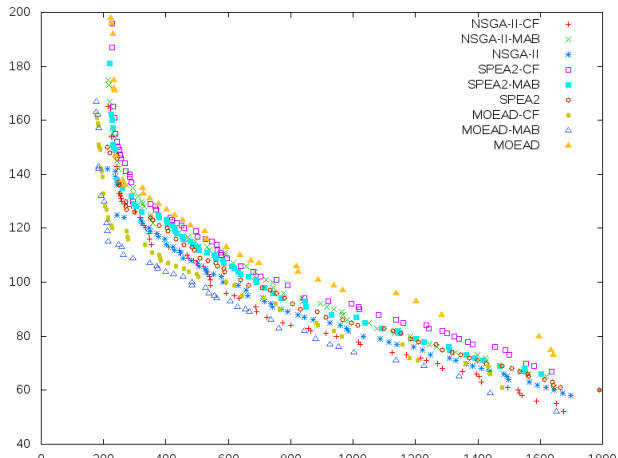
| Alg             | MyBatis                      |       | BCEL                         |       | JHotDraw                     |       | JBoss                        |       |
|-----------------|------------------------------|-------|------------------------------|-------|------------------------------|-------|------------------------------|-------|
|                 | $H_v$                        | $N_d$ | $H_v$                        | $N_d$ | $H_v$                        | $N_d$ | $H_v$                        | $N_d$ |
| NSGA-II         | 0,74316<br>(0,04679)         | 58,87 | 0,66824<br>(0,01069)         | 28,67 | <b>0,67662<br/>(0,20095)</b> | 1,37  | <b>0,25498<br/>(0,00000)</b> | 1,00  |
| SPEA2           | 0,72504<br>(0,05090)         | 54,93 | 0,66919<br>(0,01121)         | 28,83 | <b>0,58732<br/>(0,23660)</b> | 1,40  | <b>0,25498<br/>(0,00000)</b> | 1,00  |
| NSGA-II-<br>CF  | <b>0,77862<br/>(0,02563)</b> | 59,40 | <b>0,67451<br/>(0,00291)</b> | 29,00 | <b>0,75597<br/>(0,17912)</b> | 1,77  | <b>0,25498<br/>(0,00000)</b> | 1,00  |
| NSGA-II-<br>MAB | 0,74246<br>(0,05007)         | 57,80 | <b>0,67264<br/>(0,00470)</b> | 29,00 | <b>0,75437<br/>(0,19636)</b> | 1,77  | <b>0,25498<br/>(0,00000)</b> | 1,00  |
| SPEA2-CF        | 0,72687<br>(0,02653)         | 57,00 | <b>0,67364<br/>(0,00488)</b> | 29,07 | <b>0,69985<br/>(0,19621)</b> | 1,63  | <b>0,25498<br/>(0,00000)</b> | 1,00  |
| SPEA2-<br>MAB   | 0,73881<br>(0,03911)         | 56,57 | 0,66782<br>(0,00917)         | 28,80 | <b>0,60077<br/>(0,22012)</b> | 1,87  | <b>0,25498<br/>(0,00000)</b> | 1,00  |
| MOEAD-<br>CF    | <b>0,78657<br/>(0,03590)</b> | 38,80 | 0,66831<br>(0,00965)         | 29,13 | <b>0,59486<br/>(0,20803)</b> | 1,57  | <b>0,25498<br/>(0,00000)</b> | 1,00  |
| MOEAD-<br>MAB   | <b>0,78928<br/>(0,03579)</b> | 37,80 | 0,67028<br>(0,00634)         | 29,17 | <b>0,60982<br/>(0,23393)</b> | 1,67  | <b>0,25498<br/>(0,00000)</b> | 1,00  |

# HITO-DA, HITO, NSGA-II e SPEA2 em sistemas OA

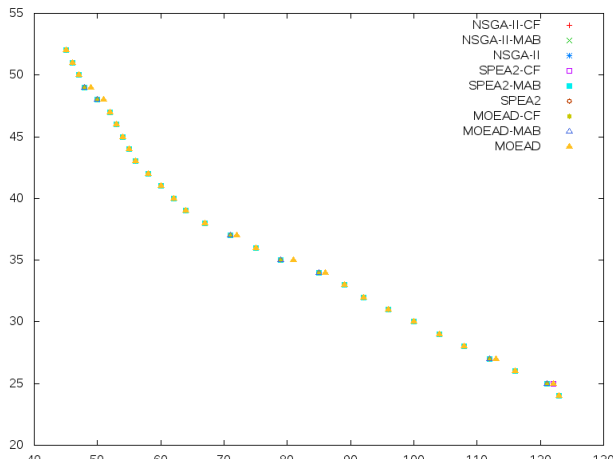
| Alg             | AJHsqldb                           |       | AJHotDraw                          |       | Health-Watcher                     |       |
|-----------------|------------------------------------|-------|------------------------------------|-------|------------------------------------|-------|
|                 | $H_v$                              | $N_d$ | $H_v$                              | $N_d$ | $H_v$                              | $N_d$ |
| NSGA-II         | 0,60194<br>(0,09248)               | 30,23 | 0,62826<br>(0,09119)               | 4,10  | <b>0,50495</b><br><b>(0,00000)</b> | 1,00  |
| SPEA2           | 0,57628<br>(0,08652)               | 28,13 | 0,54271<br>(0,11378)               | 4,73  | <b>0,50495</b><br><b>(0,00000)</b> | 1,00  |
| NSGA-II-<br>CF  | 0,69312<br>(0,10044)               | 32,40 | <b>0,76708</b><br><b>(0,09000)</b> | 5,17  | <b>0,50495</b><br><b>(0,00000)</b> | 1,00  |
| NSGA-II-<br>MAB | 0,66027<br>(0,08791)               | 32,93 | <b>0,71146</b><br><b>(0,16133)</b> | 4,87  | <b>0,50495</b><br><b>(0,00000)</b> | 1,00  |
| SPEA2-CF        | 0,60338<br>(0,05906)               | 28,27 | <b>0,73146</b><br><b>(0,10801)</b> | 4,33  | <b>0,50495</b><br><b>(0,00000)</b> | 1,00  |
| SPEA2-<br>MAB   | 0,61811<br>(0,08144)               | 25,07 | <b>0,69768</b><br><b>(0,12865)</b> | 5,40  | <b>0,50495</b><br><b>(0,00000)</b> | 1,00  |
| MOEAD-<br>CF    | <b>0,73957</b><br><b>(0,07613)</b> | 19,60 | <b>0,72859</b><br><b>(0,08777)</b> | 5,63  | <b>0,50495</b><br><b>(0,00000)</b> | 1,00  |
| MOEAD-<br>MAB   | <b>0,78730</b><br><b>(0,06985)</b> | 22,80 | <b>0,73937</b><br><b>(0,13117)</b> | 5,27  | <b>0,48829</b><br><b>(0,09128)</b> | 1,00  |

# MyBatis

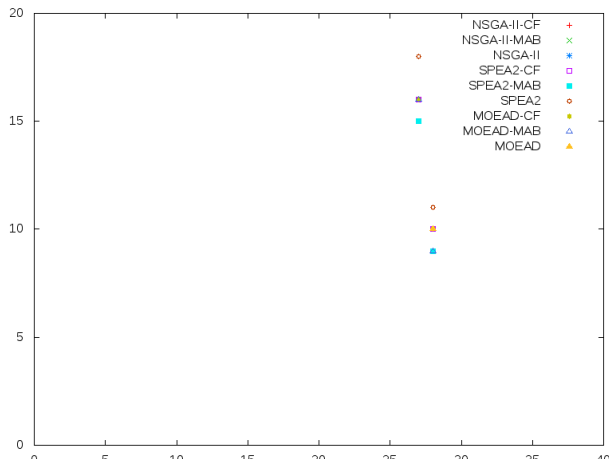
| NSGA-II | SPEA2 | NSGA-II-CF | NSGA-II-MAB | SPEA2-CF | SPEA2-MAB | MOEAD-CF | MOEAD-MAB |
|---------|-------|------------|-------------|----------|-----------|----------|-----------|
| 0       | 0     | 5          | 0           | 0        | 0         | 3        | 42        |



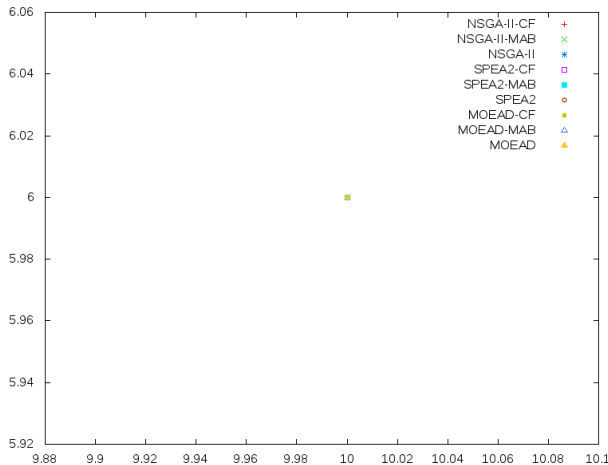
| NSGA-II | SPEA2 | NSGA-II-CF | NSGA-II-MAB | SPEA2-CF | SPEA2-MAB | MOEAD-CF | MOEAD-MAB |
|---------|-------|------------|-------------|----------|-----------|----------|-----------|
| 29      | 29    | 29         | 29          | 28       | 29        | 29       | 29        |



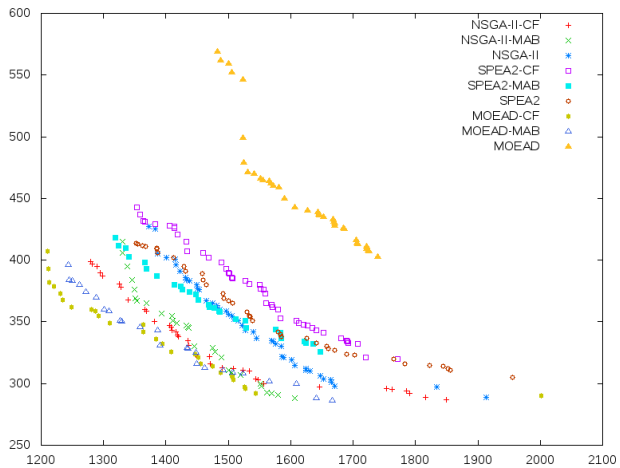
| NSGA-II | SPEA2 | NSGA-II-CF | NSGA-II-MAB | SPEA2-CF | SPEA2-MAB | MOEAD-CF | MOEAD-MAB |
|---------|-------|------------|-------------|----------|-----------|----------|-----------|
| 0       | 0     | 2          | 0           | 0        | 2         | 0        | 1         |



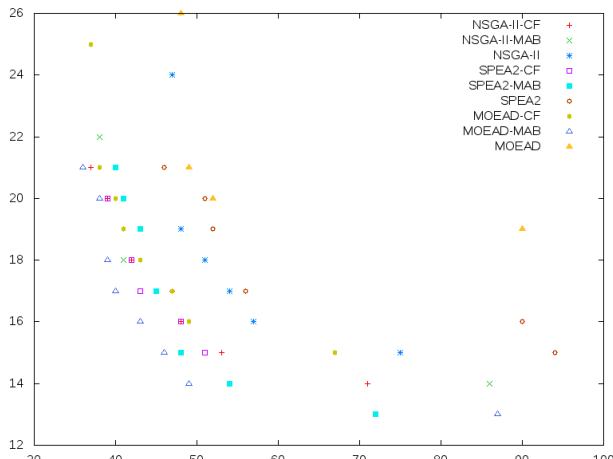
| NSGA-II | SPEA2 | NSGA-II-CF | NSGA-II-MAB | SPEA2-CF | SPEA2-MAB | MOEAD-CF | MOEAD-MAB |
|---------|-------|------------|-------------|----------|-----------|----------|-----------|
| 1       | 1     | 1          | 1           | 1        | 1         | 1        | 1         |



| NSGA-II | SPEA2 | NSGA-II-CF | NSGA-II-MAB | SPEA2-CF | SPEA2-MAB | MOEAD-CF | MOEAD-MAB |
|---------|-------|------------|-------------|----------|-----------|----------|-----------|
| 0       | 0     | 1          | 2           | 0        | 0         | 22       | 5         |

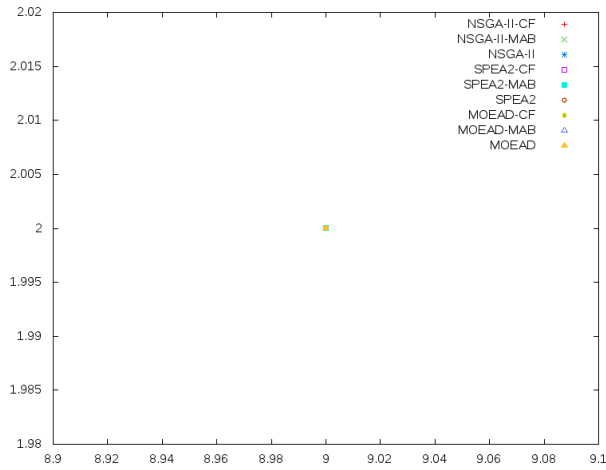


| NSGA-II | SPEA2 | NSGA-II-CF | NSGA-II-MAB | SPEA2-CF | SPEA2-MAB | MOEAD-CF | MOEAD-MAB |
|---------|-------|------------|-------------|----------|-----------|----------|-----------|
| 0       | 0     | 0          | 0           | 1        | 1         | 0        | 7         |



# Health-Watcher

| NSGA-II | SPEA2 | NSGA-II-CF | NSGA-II-MAB | SPEA2-CF | SPEA2-MAB | MOEAD-CF | MOEAD-MAB |
|---------|-------|------------|-------------|----------|-----------|----------|-----------|
| 1       | 1     | 1          | 1           | 1        | 1         | 1        | 1         |



# Média de escolhas de LLHs pela HITO-DA

| Alg       | Sistema        | h1          | h2   | h3   | h4   | h5          | h6   | h7          | h8          | h9          |
|-----------|----------------|-------------|------|------|------|-------------|------|-------------|-------------|-------------|
| MOEAD-CF  | MyBatis        | 6599        | 6589 | 6592 | 6600 | 6621        | 6592 | <b>6906</b> | 6601        | 6595        |
|           | AJHsqlDb       | 6578        | 6579 | 6578 | 6595 | <b>6857</b> | 6649 | 6616        | 6638        | 6604        |
|           | AJHotDraw      | 6620        | 6620 | 6619 | 6637 | <b>6656</b> | 6642 | 6625        | 6647        | 6631        |
|           | BCEL           | 6628        | 6633 | 6626 | 6640 | 6641        | 6641 | 6588        | <b>6670</b> | 6628        |
|           | JHotDraw       | 6607        | 6634 | 6633 | 6633 | 6646        | 6640 | 6597        | <b>6658</b> | 6647        |
|           | Health Watcher | 6443        | 6662 | 6663 | 6649 | 6664        | 6671 | 6588        | 6673        | <b>6684</b> |
|           | JBoss          | 6632        | 6675 | 6672 | 6689 | <b>6806</b> | 6704 | 6157        | 6683        | 6677        |
| MOEAD-MAB | MyBatis        | <b>7483</b> | 6695 | 7194 | 6393 | 6377        | 6426 | 6332        | 6343        | 6452        |
|           | AJHsqlDb       | <b>7518</b> | 6686 | 7035 | 6338 | 6334        | 6338 | 6740        | 6340        | 6366        |
|           | AJHotDraw      | <b>7870</b> | 6445 | 6927 | 6334 | 6328        | 6329 | 6776        | 6336        | 6352        |
|           | BCEL           | 6848        | 6384 | 6547 | 6423 | 6331        | 6332 | <b>8140</b> | 6335        | 6356        |
|           | JHotDraw       | <b>7621</b> | 6477 | 6875 | 6346 | 6337        | 6338 | 7003        | 6347        | 6352        |
|           | Health Watcher | <b>7724</b> | 6519 | 6937 | 6496 | 6333        | 6339 | 6637        | 6334        | 6376        |
|           | JBoss          | 7380        | 6405 | 6772 | 6333 | 6328        | 6331 | <b>7475</b> | 6333        | 6340        |

# Média de classificação das instâncias (Friedman)

| Instâncias  | Classificação      |
|-------------|--------------------|
| NSGA-II-CF  | 2.5                |
| MOEAD-MAB   | 3.642857142857143  |
| NSGA-II-MAB | 3.9285714285714284 |
| MOEAD-CF    | 4.214285714285714  |
| SPEA2-CF    | 4.214285714285714  |
| NSGA-II     | 5.357142857142857  |
| SPEA2-MAB   | 5.642857142857142  |
| SPEA2       | 6.499999999999999  |
| MOEA/D      | 9.0                |

# Conclusões

- O MOEAD-MAB geralmente obteve melhores resultados do que a MOEAD-CF;
- O desempenho do MOEAD-CF no sistema *AJHsql/db* ainda motiva sua aplicação em sistemas maiores e mais complexos;
- A HITO-DA obteve melhores resultados do que a meta-heurística MOEA/D em quase todos os casos;
- A HITO-DA possui melhor desempenho em sistemas maiores, a HITO possui um melhor desempenho geral quando considerados sistemas menores.

# Trabalhos Futuros

- Experimentos com sistemas maiores e mais complexos;
- Instanciar a HITO-DA com outros algoritmos de seleção;
- Instanciar a HITO-DA com outras meta-heurísticas baseadas em decomposição;
- Estudar o comportamento da HITO-DA para se resolver o problema ITO com um número maior de objetivos;
- Adaptar a HITO-DA para trabalhar com o problema ITO na presença de restrições de modularização;
- Criar uma variação da HITO-DA para outros problemas da SBSE, tais como a seleção ou priorização de casos de teste.

# Muito Obrigado